

УДК 623.746: 629.7.083.003.13 (045)

¹М. В. Киндрячук, д-р техн. наук, проф.,

¹А. Л. Шевченко, асп.,

²В. А. Костин, канд. техн. наук, ст. научн. сотр.,

¹В. И. Вовк, инж.,

¹И. А. Слепухина, канд. физ-мат. наук, доц.

ВЛИЯНИЕ ПРЕДВАРИТЕЛЬНОЙ ЛАЗЕРНОЙ ОБРАБОТКИ НА ПРОЦЕСС АЗОТИРОВАНИЯ ТИТАНОВОГО СПЛАВА ВТ6

¹Национальный авиационный университет, LSD-Tuning@ukr.net

²Институт сварки им. Е. О. Патона

Рассмотрены особенности влияния предварительной лазерной обработки на строение и свойства азотированных слоёв на титановом сплаве ВТ6. Показано, что качественный и количественный характер изменений в азотированном слое определяется предварительно сформированным структурно-фазовым состоянием.

Введение и состояние проблемы. Авиакосмическая промышленность остаётся самым крупным потребителем титановых сплавов. Титановые сплавы, способны к длительному функционированию при температурах от минус 253 °C до + 600 °C и кратковременному – до + 800 °C.

Сплавы типа ВТ6 ($\alpha + \beta$)-класса относятся к наиболее распространенным за рубежом титановым сплавам. Так, около 50 % используемого в авиационной и космической технике титана приходится на сплав Ti–6Al–4V или его аналоги [1] (отечественным аналогом являются сплавы типа ВТ6).

Сплав ВТ6 (ГОСТ 19807–91) – малопластичный, труднодеформируемый титановый сплав высокой прочности (ВТ означает, что организация-разработчик – Всероссийский НИИ авиационных сплавов; 6 – порядковый номер разработки сплава) с твердостью материала (штампованныго) после отжига по Бринеллю составляет $H_B 10^{-1} = 255\text{--}341$ МПа.

Этот сплав успешно применён для изготовления баллонов высокого давления топливных систем (окислитель, азот, гелий) в ракетах «Титан-2», «Атлас», «Апполон», «Поларис» и др. (работающих в широком интервале температур от минус 196 до +450 °C).

В своё время фирмой «T. Y. Brooks» было освоено производство болтов из сплава Ti–6Al–4V. Считается, что титановый крепёж (по усталостной прочности) обладает большей работоспособностью, чем аналогичный крепёж из стали.

Из титановых сплавов изготавливаются столь ответственные изделия, как втулки несущего винта вертолётов типа S-65, валы шасси, а также втулки хвостового винта, цапфы, скобы, корпуса осевых шарниров, наконечники лопастей и т. п.

Из сплавов типа Ti–6Al–4V, Ti–8Al–10V, Ti–8Al–1Mo–1V производят диски и лопатки компрессоров низкого и высокого давления и температур до 400 °C. По данным фирмы «Pratt and Whitney» лопатки из сплава Ti–6Al–4V эксплуатировались в течение семи лет без поломок. Также имеются сведения об изготовлении компрессорных лопаток из композиционного материала в виде порошка сплава Ti–6Al–4V, армированного молибденовой проволокой.

Также сплав Ti–6Al–4V был применён для изготовления лопаток первых ступеней ротора морской паровой турбины, где наблюдалась сильная питтинговая коррозия на лопатках турбин, изготовленных из сплава, содержащего 12 % хрома. Титановые лопатки после 2000 ч эксплуатации не имели каких-либо признаков коррозионных и эрозионных повреждений.

Такое широкое распространение этого сплава объясняется удачным его легированием (степень легированности BT6 – 0,28). Алюминий в сплавах системы Ti–Al–V повышает прочностные и жаропрочные свойства, а ванадий относится к тех немногим легирующим элементам в титане, которые повышают не только прочностные свойства, но и пластичность.

Наряду с высокой удельной прочностью сплавы этого типа обладают меньшей чувствительностью к водороду по сравнению со сплавами OT4 и OT4-1, низкой склонностью к солевой коррозии и хорошей технологичностью.

Сплавы хорошо деформируются в горячем состоянии. Из сплавов типа BT6 получают прутки, трубы, профили, поковки, штамповки, плиты, листы. Они свариваются всеми традиционными видами сварки, в том числе и диффузационной. При электронно-лучевой сварке прочность сварного шва равна прочности основного материала, что выгодно отличает этот сплав от BT-22.

Сплавы типа ВТ6 применяют в отожженном и термически упрочнённом состояниях. Отжиг листов, тонкостенных труб, профилей и деталей из них обычно проводят при температуре 750–800 °C с последующим охлаждением на воздухе или вместе с печью. Отжиг прутков, поковок, штамповок и других крупногабаритных полуфабрикатов и деталей из них проводят при температуре 750–800 °C. Охлаждение вместе с печью крупных полуфабрикатов предотвращает их коробление, а для мелких деталей позволяет избежать частичной закалки. Однако в последнее время было доказано, что целесообразно повысить температуру отжига до 900–950 °C, что приведёт к повышению вязкости разрушения и ударной вязкости при сохранении высоких пластических свойств из-за формирования смешанной структуры с большой долей пластинчатой составляющей.

Рост применения титановых сплавов показывает и автомобильный сектор. В системах подвесок, например, замена стальных пружин на титановые даёт преимущество в виде уменьшения веса на 60 %. Так в 70-е годы в Англии было организовано производство титановых шатунов для гоночных автомобилей объёмом цилиндров 350 и 500 см³. При этом достигнуто уменьшение массы шатуна на 30 %, что привело к снижению инерционных нагрузок кривошипно-шатунного механизма, увеличению мощности двигателя на 12 л.с. и экономии горюче-смазочных материалов. Также в гоночных автомобилях титановые сплавы применяют в производстве коленчатых валов, впускных и выпускных клапанов, коромысла клапанов, соединительных тяг, передних и задних осей, втулок, гаек, торсионных рычагов, деталей подвески и выхлопной системы и др. Опыт использования титановых сплавов показывает, что наиболее целесообразно применение их для деталей высоконагруженных двигателей (рекомендованы сплавы средней прочности и жаропрочные), несущей конструкции автомобилей (сплавы средней прочности) и ходовой части (сплавы средней прочности и высокопрочные). По данным работы [1] применение сплавов титана для таких деталей автомобильных и дизельных двигателей, как шатуны, клапаны и глушители, позволит существенно увеличить мощность двигателя, повысить надёжность и долговечность ряда деталей возвратно поступательных систем.

Несмотря на то, что титановые сплавы являются уникальными материалами, характеризующимися сочетанием физико-химических и механических свойств их применение во многих случаях, ограничивается из-за низких антифрикционных свойств и их склонности к схватыванию, а также низкой твёрдости поверхности. Поэтому их применение в реальных узлах трения возможно только при наличии покрытий, наносимых различными методами.

В настоящее время для увеличения износостойкости, жаростойкости, коррозионной стойкости и поверхностной твёрдости титана и его сплавов применяют газопламенные, плазменные, детонационные покрытия и гальваническое хромирование [2; 3; 4]. Одним из таких методов является весьма перспективный метод ионного азотирования (ИА) [5], который начинает находить в последнее время всё большее применение в исследовательском и промышленном направлениях.

Суть ионно-плазменного азотирования заключается в том, что в разряженной (до 100–1000 Па) азотсодержащей газовой среде между катодом, на котором располагаются обрабатываемые детали, и анодом, в качестве которого служат стенки вакуумной камеры, возбуждается аномальный тлеющий разряд, образующий активную среду (ионы, атомы, возбужденные молекулы). Это обеспечивает формирование на поверхности изделия азотированного слоя, состоящего из внешней – нитридной зоны и располагающейся под ней диффузионной зоны.

При этом в зависимости от целей обработки в результате ИА возможно получение:

- диффузионного слоя с развитой нитридной зоной, обеспечивающей высокую сопротивляемость коррозии и прирабатывающую трущихся поверхностей для деталей, работающих на износ;
- диффузионного слоя без нитридной зоны для режущего и штамповочного инструмента и деталей, работающих при знакопеременных нагрузках в условиях изнашивания при высоких давлениях.

С помощью метода ИА можно улучшить такие характеристики изделий, как износостойкость, усталостную выносливость, антииздирные свойства, теплостойкость и коррозионную стойкость.

В частности, методом ИА давно и успешно обрабатываются следующие изделия многих ведущих авто- и машиностроительных предприятиях мира:

- форсунки для легковых автомобилей, несущие пластины

автоматического привода, матрицы, пuhanсоны, штампы, прессформы (Daimler Chrysler);

- пружины для системы впрыска (Opel);
- коленчатые валы (Audi);
- распределительные (кулачковые) валы (Volkswagen);
- коленчатые валы для компрессора (Atlas, США и Wabco, Германия);
- шестерни для BMW (Handl, Германия);
- автобусные шестерни (Volvo);
- шестерни на Минском заводе колёсных тягачей (МЗКТ);
- шестерни и другие детали (МАЗ);
- шестерни большого (более 800 мм) диаметра (БелАЗ).

В данной работе проведено импульсное газотермоциклическое ионное азотирование (ГТЦ ИА) в пульсирующем пучке плазмы титановых образцов с целью улучшения антифрикционных свойств поверхности промышленных титановых сплавов. Исследован распространённый сплав ВТ6 (86,485-91,2 % Ti (основа); 3,5-6,8 % Al; 3,5-5,3 % V; до 0,3 % Zr; до 0,3 % Fe; до 0,15 % Si; до 0,1 % C; до 0,05 % N; до 0,015 % H₂; до 0,2 % O₂; 0,3 % прочих примесей), который относится к первым отечественным конструкционным титановым сплавам.

Так, до настоящего времени не существует единой точки зрения на механизм диффузионного насыщения азотом, однако большинство авторов [5; 6] считает, что определяющую роль при азотировании и особенно при низких температурах играют ионы молекуллярного и атомарного азота. Если рассматривать азотирование как плазмохимический процесс, то необходимо дополнительное условие, при котором насыщение азотом осуществляется в плазме, содержащей атомы N и ионы N⁺, т.е. наряду с ионизацией необходимо создавать условия, при которых диссоциация азота максимальна.

Но, метод ИА – «медленный» процесс насыщения азотом изделий. Для увеличения скорости насыщения провели предварительную лазерную обработку (ЛО) поверхности титановых сплавов.

Цель работы – изучение влияния режимов предварительной ЛО на скорость азотирования и характеристики титановых сплавов.

Постановка задания. Легирующие элементы, которые входят в состав титановых сплавов, подразделяются на α- (Al), β- (Mn,

V, Mo, Cr, Fe, Nb, Si, W) – стабилизаторы и нейтральные упрочнители (Zr, Sn) [5]. При насыщении сплавов азотом проходит перераспределение легирующих элементов как между азотированным слоем и матрицей сплава, так и в самом азотированном слое.

Ограниченнная растворимость ванадия в α -Ti сплава BT6 приводит к тому, что в меру стабилизации азотом α - твёрдого раствора ванадий выделяется с ГПУ-решётки, скапливается на границах зёрен и по них диффундирует в более глубокие слои сплава BT6. Увеличение концентрации алюминия в приповерхностных слоях вследствие его перераспределения в твёрдом растворе уменьшает растворимость ванадия в них 0,5…1,2 % (массовых долях) в сплаве Ti-6Al против 1,5…3,5 в α -Ti), что обуславливает активизацию его выделения с твёрдого раствора и диффузационный отвод в глубину сплава. С увеличением температуры изотермической выдержки указанные процессы интенсифицируются, что отображается в увеличении скорости азотирования сплава [5].

Известно [7; 8], что в основе процесса ЛО (термоупрочнения) двухфазных титановых сплавов лежит полиморфное $(\alpha+\beta)\rightarrow\beta$ превращение, которое включает наряду с ГПУ-ОЦК-перестройкой кристаллической решётки, диффузационное перераспределение легирующих элементов. Идентификация механизма $(\alpha+\beta)\rightarrow\beta$ превращения в условиях сверхвысоких скоростях нагрева, когда возникает несоответствие между скоростью нагрева и скоростью диффузационных процессов и выявление диффузационного $\beta\rightarrow\alpha+\beta$ или мартенситного $\beta\rightarrow\alpha'(\alpha'')$ механизмов превращения при повышенных скоростях охлаждения, являются собой весьма сложную экспериментальную задачу.

Разработаны способы упрочнения предварительно обработанных лазером поверхностей химико-термической обработкой (азотированием). Установлено, что предварительная ЛО ускоряет диффузационные процессы азотирования.

Методика исследований. Предварительную ЛО кольцевых образцов из титанового сплава BT6 ($\rho = 4430 \text{ кг}/\text{м}^3$) размером $39\times20\times2 \text{ мм}$ (микроструктура сплава BT6 в исходном состоянии полученную методом оптической металлографии показано на рис. 1) проводили на установке «ЛАТУС-31» при следующих режимах: мощность излучения – 800 Вт; диаметр пятна фокусирования – 5 мм; скорость передвижения лазерного луча – 0,5, 0,8 и 1,2 м/мин (рис. 2).

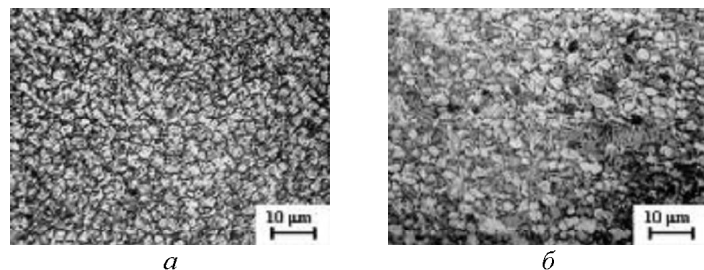


Рис. 1. Микроструктура сплава ВТ6 в исходном состоянии:
а – поперечное сечение; б – продольное сечение

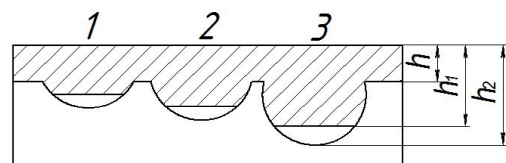


Рис. 2. Схема ЛО титанового сплава ВТ6:
1, 2, 3 – участки ЛО, которые соответствуют скоростям передвижения лазерного луча 0,5, 0,8 и 1,2 м/мин соответственно; h – глубина азотированного слоя без ЛО; h_1 – глубина азотированного слоя в зоне ЛО; h_2 – глубина ЛО

Диффузионное насыщение азотом предварительно подготовленных образцов проводили в среде 80 % N_2 + 20 % Ar (так как азотирование в аммиаке не применяется из-за увеличения хрупкости титана) при следующих параметрах технологического процесса: температура азотирования образцов – 800 °C; продолжительность импульсного ГТЦ ИА – 6 ч; величина исходного напряжения, которое подаётся на деталь – 400 В. Одну часть образцов азотировали без предварительной ЛО, вторую – с предварительной ЛО.

Для выявления микроструктуры титанового сплава ВТ6 использовали химическое травление образцов-свидетелей, в реактиве (1 часть NH_4F , 3 части HNO_3 , одна часть H_2O) в течении 45 с при температуре 20 °C на воздухе.

Замер микротвёрдости структурных составляющих проводили соответственно с ГОСТ 9450–89 с помощью микротвердометра ПМТ-3М при нагрузке на индентор 100 г, время выдержки под нагрузкой – 20 с, шаг измерения по толщине образца-свидетеля – 30...40 мкм. Также замер микротвёрдости проводили на микротвер-

домере Виккерс M-400 Hardness Tester фирмы «LECO». В каждом случае проводилось не менее 9 замеров микротвёрдости исследуемой структурной составляющей. Приведенные значения микротвёрдости являются среднеарифметическими значениями замеров (рис. 5).

Фрактографические исследования проводились на сканирующем электронном микроскопе JSM-35 CF фирмы «JEOL» (Япония) оснащённого системой микроанализа INCA энергодисперсионным спектром.

Для изучения химического состава поверхностных слоёв использовали микрорентгеноспектральный метод, который обеспечивает высокую локальность исследований (до 1 мкм). Элементный состав образцов из титанового сплава анализировался с помощью энергодисперсионного спектрометра «INCA 450» фирмы «Oxford Instruments» (Англия). Для построения концентрационных карт распределения элементов по избранному участку использовалось разработанное фирмой «Oxford Instruments» программное обеспечение – программа SMARTMAP, основанная на дискретном сканировании электронным лучом на поверхности образца с фиксацией интенсивности характеристического излучения в каждой точке области сканирования, и составляла 128×128 точек или 165×165 мкм.

Результаты исследований. Вид зоны титанового сплава ВТ6 после предварительной ЛО и последующего за ней процесса импульсного ГТЦ ИА показано на рис. 3.

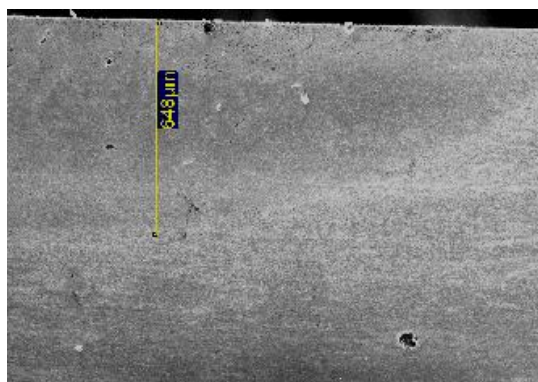


Рис. 3. Микроструктура титанового сплава ВТ6 после предварительной ЛО ($V = 0,5$ м/мин) и импульсного ГТЦ ИА, $\times 400$

В результате анализа морфологии структуры сплава ВТ6 установлено, что результирующее изменение структуры явилось следствием наложения двух процессов – фазового $(\alpha+\beta)\rightarrow\beta$ превращения и рекристаллизации. Рост зерна может происходить только в β -области. Также подтверждено [7], что при наносекундной обработке время пребывания в β -области мало, зерно не успевает вырасти большим и почти мгновенное охлаждение приводит к глобуляризации структуры. Так, в результате при охлаждении после скоростного нагрева происходит более равномерное образование β -превращённой фазы и более легированного α'' -мартенсита.

Анализ полученных данных показал, что в зависимости от технологических параметров ЛО (в данном случае от скорости перемещения лазерного луча) изменяется фазовый состав, толщина (рис. 4) и микротвёрдость азотированного слоя.

График распределения микротвёрдости титанового образца в поперечном сечении по глубине титанового образца-свидетеля представлен на рис. 5. Микротвёрдость с удалением от поверхности в глубину слоя плавно снижается до уровня исходной матрицы.

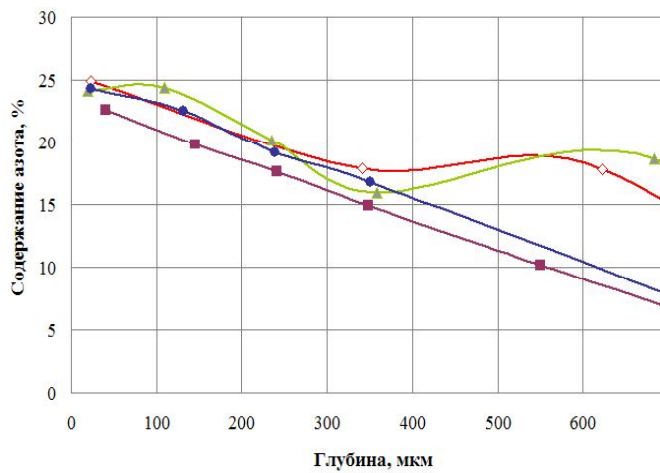


Рис. 4. Распределение содержания азота по глубине образца из титанового сплава ВТ6 после предварительной ЛО с последующим импульсным ГТЦ ИА: \diamond – ЛО ($V=0,5$ м/мин); ■ – без ЛО; \blacktriangle – ЛО ($V=0,8$ м/мин); \bullet – ЛО ($V=1,2$ м/мин)

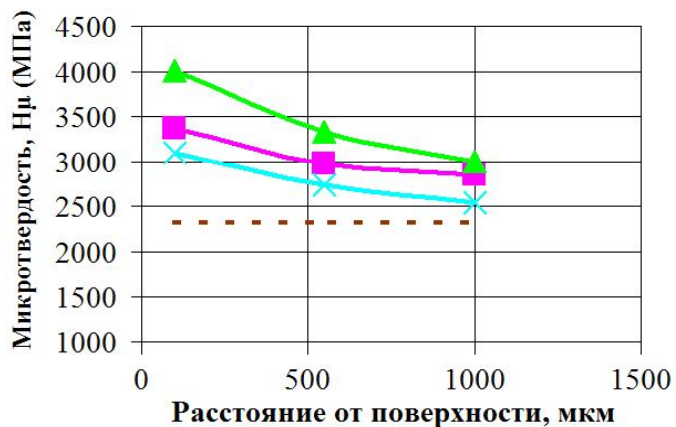


Рис. 5. Изменение микротвёрдости по глубине образца из титанового сплава ВТ6 в зависимости от скорости перемещения лазерного луча:
— исходная; ■ — ЛО ($V=0,5$ м/мин); ▲ — ЛО ($V=0,8$ м/мин); × — ЛО ($V=1,2$ м/мин)

При проведении элементного анализа образца-шлифа из титанового сплава, который проводился на сканирующем электронном микроскопе JSM-35 CF, было установлено, что в «зоне с ЛО», соответствующей режиму предварительной ЛО при скорости передвижения лазерного луча $V = 1,2$ м/мин, «азотированный» слой составляет 50 мкм (см. рис. 4).

В результате исследований отмечено значительное (больше на 70 %) повышение твёрдости поверхности титановых сплавов относительно исходной. Это вызвано изменением фазового состава в поверхностном слое с образованием твёрдого раствора азота в α -Ti-фазе, нитрида TiN и диоксида TiO_2 , и химического состава сплава. В сплавах с α - и $(\alpha+\beta)$ -структурой после азотирования при температуре 1050 °С поверхностные слои неоднородны по составу и неравномерны по толщине, а после обработки при температуре 950 °С поверхностные слои гомогенные и имеют высокие свойства.

Проанализировав влияние параметров процесса азотирования установлено, что варьируя состав насыщающего газа, давление, температуру и время выдержки, можно получать слои заданной структуры, фазового состава и толщины поверхностного слоя, а также микротвёрдости, обеспечивая строго регламентируемые свойства

титана и сплавов. Оптимизация свойств упрочняемой поверхности обеспечивается за счёт необходимого сочетания нитридного и диффузионного слоёв, которые врастают в основной материал.

В настоящее время проводятся исследования триботехнических характеристик полученных покрытий, результаты которых будут представлены в дальнейших публикациях.

Выводы. В результате анализа полученных зависимостей, установлено, что уменьшение скорости предварительной ЛО поверхности титанового сплава производит существенное влияние на интенсивность образования твёрдых растворов разных фаз и химических соединений типа TiN. При этом качественный и количественный характер изменений в азотированном слое определяются предварительно сформированным структурно-фазовым состоянием.

Также установлено, что технологическое объединение ЛО поверхности и процесса азотирования значительно повышает микротвёрдость поверхности.

Список литературы

1. Титановые сплавы в машиностроении [Б. Б. Чечулин, С. С. Ушков, И. Н. Разуваева, В. Н. Гольдфайн]. – Л.: Машиностроение, 1977. – 248 с.
2. Киндрачук М. В. Триботехнические свойства плазменных покрытий на титановом сплаве ВТ-22 / М. В. Киндрачук, Э. А. Кульгавый, А. Л. Шевченко, Е. В. Корбут // Проблеми тертя та зношування: наук.-техн. зб. – К.: Вид-во НАУ «НАУ-друк», 2008. – Вип. 50. – С. 171 – 179.
3. Киндрачук М. В. Триботехнические характеристики детонационных покрытий на титановом сплаве ВТ-22 / М. В. Киндрачук, Э. А. Кульгавый, А. Л. Шевченко, А. П. Данилов // Проблеми тертя та зношування: наук.-техн. зб. – К.: Вид-во НАУ «НАУ-друк», 2009. – Вип. 51. – С. 111 – 122.
4. Orłowicz W., Mróz M.: Odporność na zużycie ścieńne uszlachetnionych powierzchniowo odlewów ze stopu C355. ARCHIWUM ODLEWNICTWA, –T.4, z.12, – S. 197–202, 2004.
5. Федірко В. М. Азотування титану та його сплавів / В. М. Федірко, І. М. Погрєлок. – К.: Наук. думка, 1995. – 222 с.
6. Ахмадеев Ю. Х. Азотирование технически чистого титана в тлеющем разряде с полым катодом / Ю. Х. Ахмадеев, И. М. Гончаренко, Ю. Ф. Иванов, Н. Н. Коваль, П. М. Щанин // ЖТФ.– Т.31, вып. 13. – 2005. – С. 24 – 30.
7. Панова Т. К. Полиморфные превращения в ($\alpha+\beta$)-титановых сплавах

под действием ионных пучков / Т. К. Панова, Г. И. Геринг, Н. И. Писчесов, В. С. Ковивчак // Вест. Омск. ун-та, 1997. – Вып. 1. – С. 23 – 25.

8. Орлович А. В. Применение высокоскоростной кристаллизации для повышения износостойкости отливок из сплава Al-Si / А. Орлович, М. Мруз, А. Трытек // Трение и износ.– Т. 27, №1, –2006. – С. 95 – 97.

УДК 623.746: 629.7.083.003.13 (045)

Кіндрачук М.В., Шевченко О.Л., Костін В.А., Вовк В.І., Слєпухіна І.А. Вплив попередньої лазерної обробки на процес азотування титанового сплаву BT6 // Проблеми тертя та зношування: Наук.-техн. зб. – К.: Вид-во НАУ «НАУ-друк», 2010. – Вип. 52. – С.140–151.

Розглянуто особливості впливу попередньої лазерної обробки на будову та властивості азотованих шарів на титановому сплаві BT6. У роботі показано, що якісний і кількісний характер змін в азотованому шарі визначається зазделегідь сформованим структурно-фазовим станом.

Рис. 5, список літ. 8 найм.

Kindrachuk M.V., Shevchenko O.L., Kostin V.A., Vovk V.I., Slepuhina I.A. Influence of laser rough-down on the process of nitriding of titan alloy BT6

The features of influence of laser rough-down are considered on a structure and properties of the nitrided layers on the titan alloy of BT6. It is in-process routine that high-quality and quantitative character of changes in the nitrided layer is determined by the preliminary formed structural-phase state.

Стаття надійшла до редакції 28.10.09.